Capítulo 3

CINEMÁTICA AVANZADA: LA DENAVIT-HARTENBERG CONVENCIÓN

En este capítulo desarrollamos las ecuaciones cinemáticas directas o de configuración para robots rígidos. El problema de la cinemática directa tiene que ver con la relación entre las articulaciones individuales del manipulador del robot y la posición y orientación de la herramienta o efector final. Expresado de manera más formal, el problema de la cinemática directa consiste en determinar la posición y orientación del efector final, dados los valores de las variables conjuntas del robot. Las variables articulares son los ángulos entre los eslabones en el caso de rótulas o rotacionales, y la extensión del eslabón en el caso de prismáticas o deslizantes. El problema de la cinemática directa debe contrastarse con el problema de la cinemática inversa, que se estudiará en el próximo capítulo, y que se ocupa de determinar los valores de las variables articulares que logran una posición y orientación deseadas para el efector final del robot.

3.1 Cadenas cinemáticas

Como se describe en el Capítulo 1, un robot manipulador se compone de un conjunto de enlaces conectados entre sí por varias articulaciones. Las articulaciones pueden ser muy simples, como una articulación giratoria o prismática, o pueden ser más complejas, como una articulación esférica.

(Recuerde que una articulación giratoria es como una bisagra y permite una rotación relativa alrededor de un solo eje, y una articulación prismática permite un movimiento lineal a lo largo de un solo eje, es decir, una extensión o retracción). La diferencia entre las dos situaciones es que, en En el primer caso, la articulación tiene un solo grado de libertad de movimiento: el ángulo de rotación en el caso de una articulación giratoria y la cantidad de desplazamiento lineal en el caso de una articulación prismática. Por el contrario, una articulación de rótula tiene dos grados de libertad. En este libro se supone que todas las juntas tienen un solo grado de libertad. Nótese que la suposición

62CAPÍTULO 3. CINEMÁTICA AVANZADA: LA CONVENCIÓN DE DENAVIT-HARTENBERG

no implica ninguna pérdida real de generalidad, ya que las articulaciones como una rótula (dos grados de libertad) o una muñeca esférica (tres grados de libertad) siempre se pueden considerar como una sucesión de un solo grado, nudos de libertad con eslabones de longitud cero en el medio.

Con la suposición de que cada articulación tiene un solo grado de libertad, la acción de cada articulación puede describirse mediante un solo número real: el ángulo de rotación en el caso de una articulación giratoria o el desplazamiento en el caso de una prismática. articulación. El objetivo del análisis cinemático directo es determinar el efecto acumulativo del conjunto completo de variables conjuntas.

En este capítulo desarrollaremos un conjunto de convenciones que proporcionan un procedimiento sistemático para realizar este análisis. Por supuesto, es posible llevar a cabo un análisis de cinemática directa incluso sin respetar estas convenciones, como hicimos para el ejemplo del manipulador plano de dos vínculos en el Capítulo 1. Sin embargo, el análisis cinemático de un manipulador de n vínculos puede ser extremadamente complejo y las convenciones que se presentan a continuación simplifican considerablemente el análisis. Además, dan lugar a un lenguaje universal con el que los ingenieros de robots pueden comunicarse.

Un robot manipulador con n articulaciones tendrá n + 1 enlaces, ya que cada articulación conecta dos enlaces. Numeramos los nudos del 1 al n, y numeramos los eslabones del 0 al n, comenzando desde la base. Por esta convención, la articulación i conecta el enlace i – 1 al enlace i. Consideraremos que la ubicación de la articulación i es fija con respecto al vínculo i – 1. Cuando se acciona la articulación i, el vínculo i se mueve. Por lo tanto, el eslabón 0 (el primer eslabón) está fijo y no se mueve cuando se acciona las articulaciones. Por supuesto, el robot manipulador podría ser móvil (por ejemplo, podría montarse en una plataforma móvil o en un vehículo autónomo), pero no consideraremos este caso en el presente capítulo, ya que puede manejarse fácilmente ampliando ligeramente las técnicas. presentado aquí, th con el i

conjunta, asociamos una variable conjunta, denotada por qi . En el caso de una articulación giratoria, qi es el ángulo de rotación, y en el caso de una articulación prismática, qi es el desplazamiento de la articulación:

$$q = \begin{array}{c} \theta{\rm i: articulación \, i \, giratoria} \\ \\ d{\rm i: articulación \, i \, prismática} \end{array} \eqno(3.1)$$

Para realizar el análisis cinemático, adjuntamos rígidamente un marco de coordenadas a cada enlace. En particular, adjunto oixiyizi al enlace i. Esto significa que, sea cual sea el movimiento del robot se ejecuta, las coordenadas de cada punto en el vínculo i son constantes cuando se expresan en el marco de coordenadas i. Además, cuando se activa la articulación i, el eslabón i y su marco adjunto, oixiyizi, experimentan un movimiento resultante. El marco 00x0y0z0, que está unido a la base del robot, se denomina marco inercial. La Figura 3.1 illustra la idea de unir marcos rígidamente a los eslabones en el caso de un manipulador de codo.

Ahora supongamos que Ai es la matriz de transformación homogénea que expresa la posición y orientación de oixiyizi con respecto a oi-1xi-1yi-1zi-1. La matriz Ai no es constante, sino que varía a medida que cambia la configuración del robot. Sin embargo, la suposición de que todas las articulaciones son giratorias o prismáticas significa que Ai es una función de una única variable conjunta, a saber, qi . En otras palabras,

$$Ai = Ai(qi). (3.2)$$

3.1. CADENAS CINEMATICAS

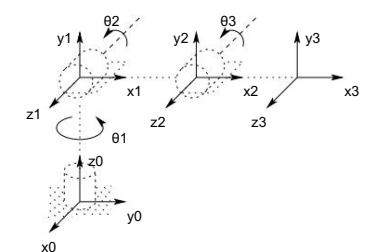


Figura 3.1: Marcos de coordenadas adjuntos al manipulador de codo.

Ahora bien, la matriz de transformación homogénea que expresa la posición y orientación de ojxjyjzj con respecto a oixiyizi se denomina, por convención, matriz de transformación, y se denota por T j . Del capítulo 2 vemos que

$$\begin{array}{ll} T_{ji}^{\ i} &= Ai+1Ai+2 \dots Aj-1Aj \ si \ i < j = I \ si \ i = \\ T_{j} &= J-1 \\ T_{j}^{\ i} &= (T_{j}^{\ i}) \quad si \ j > i. \end{array}$$

63

Por la forma en que hemos unido rígidamente los diversos marcos a los enlaces correspondientes, se deduce que la posición de cualquier punto en el efector final, cuando se expresa en el marco n, es una constante independiente de la configuración del robot. Denotar la posición y orientación del efector final con respecto al marco inercial o base por un vector de tres (que da las coordenadas del origen del marco en del efector final con respecto al y definir la transformación homogénea marco base) y la matriz de rotación de 3 × 3 matriz n.

$$H = \begin{array}{c} R\underline{0} & {}_{\underline{n}\underline{0}} \\ 0.1 & . \end{array}$$
 (3.4)

Entonces, la posición y orientación del efector final en el marco inercial están dadas por

$$H = T$$
 $_{-1}^{0} = A1(q1) \cdot \cdot \cdot An(qn).$ (3.5)

Cada transformación homogénea Ai es de la forma

Por eso

$$T_j^i = Ai+1 \cdot \cdot \cdot Aj = \underbrace{}_{yo \ o \ j \ 0 \ 1} \cdot$$
 (3.7)

64CAPÍTULO 3. CINEMÁTICA AVANZADA: LA CONVENCIÓN DE DENAVIT-HARTENBERG

La matriz Ri expresa la orientación de ojxjyjzj relativa a oixiyizi y está dada por las partes rotacionales de las matrices A como

$$R_{i}^{i} = R_{yo+1}^{i} \cdots R_{j} - 1 \tag{3.8}$$

Los vectores de coordenadas o están dados recursivamente por la fórmula j

$$y_{0}^{i} = 0j_{-1}^{i} + R_{i-1}^{i} \circ_{i}^{i-1}$$
 (3.9)

Estas expresiones serán útiles en el Capítulo 5 cuando estudiemos las matrices jacobianas.

En principio, ¡eso es todo lo que hay que hacer para la cinemática directa! Determine las funciones Ai(qi) y multiplíquelas según sea necesario. Sin embargo, es posible lograr una cantidad considerable de racionalización y simplificación mediante la introducción de convenciones adicionales, como la representación Denavit-Hartenberg de un nudo, y este es el objetivo del resto del capítulo.

3.2 Representación de Denavit Hartenberg

Si bien es posible realizar todo el análisis de este capítulo usando un marco arbitrario adjunto a cada enlace, es útil ser sistemático en la elección de estos marcos. Una convención comúnmente utilizada para seleccionar marcos de referencia en aplicaciones robóticas es la convención Denavit Hartenberg o DH. En esta convención, cada transformación homogénea Ai se representa como un producto de cuatro transformaciones básicas

Ai = Rotz.θiTransz.diTransx.aiRotx.αi 1000 1.0 000 cθi −sθi 0 0 cθi 100 ai010 0 0 0 sθi 0 0100 cai -sai 0 0 sai 100001 0 0 1 di 0 0 0 0010 cai 0 0 0 0 0001 cθi -sθi cαi sθi sαi aicθi sθi cθi cαi -cθi sαi aisθi di 0 cαi sai

donde las cuatro cantidades θi αj sòn diarámetros asociados con el vínculo i y el nudo i. Los cuatro parámetros ai y θi en (8.10/ligeneralmente reciben los nombres de longitud de enlace, torsión de enlace, desplazamiento de enlace y ángulo de unión, respectivamente. Estos nombres se derivan de aspectos específicos de la relación geométrica entre dos marcos de coordenadas, como se verá a continuación. Dado que la matriz Ai es una función de una sola variable, resulta que tres de las cuatro cantidades anteriores son constantes para un vínculo dado, mientras que el cuarto parámetro, θi para una articulación giratoria y di para una articulación prismática, es la variable conjunta .

Del Capítulo 2 se puede ver que una matriz de transformación homogénea arbitraria se puede caracterizar por seis números, como, por ejemplo, tres números para especificar el

3.2. REPRESENTACIÓN DE DENAVIT HARTENBERG

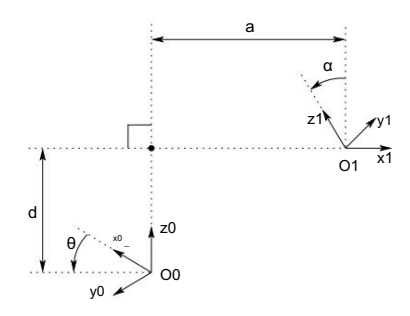


Figura 3.2: Marcos de coordenadas que satisfacen los supuestos DH1 y DH2.

cuarta columna de la matriz y tres ángulos de Euler para especificar la matriz de rotación superior izquierda de 3 × 3. En la representación DH, en cambio, sólo hay cuatro parámetros. ¿Cómo es esto posible? La respuesta es que, si bien se requiere que el marco i esté unido rígidamente al vínculo i, tenemos una libertad considerable para elegir el origen y los ejes de coordenadas del marco. Por ejemplo, no es necesario que el origen, oi , de la trama i se coloque en el extremo físico del enlace i. De hecho, ni siquiera es necesario que el marco i se coloque dentro del enlace físico; el marco i podría estar en el espacio libre, siempre que el marco i esté rígidamente unido al eslabón i. Mediante una elección inteligente del origen y los ejes de coordenadas, es posible reducir el número de parámetros necesarios de seis a cuatro (o incluso menos en algunos casos). En la Sección 3.2.1 mostraremos por qué y bajo qué condiciones se puede hacer esto, y en la Sección 3.2.2 mostraremos exactamente cómo hacer las asignaciones de marcos de coordenadas.

3.2.1 Cuestiones de existencia y singularidad

Claramente, no es posible representar ninguna transformación homogénea arbitraria usando solo cuatro parámetros. Por lo tanto, comenzamos por determinar qué transformaciones homogéneas pueden expresarse en la forma (3.10). Supongamos que nos dan dos marcos, indicados por los marcos 0 y 1, respectivamente. Entonces existe una única matriz de transformación homogénea A que toma las coordenadas del marco 1 en las del marco 0. Ahora suponga que los dos marcos tienen dos características adicionales, a saber:

(DH1) El eje x1 es perpendicular al eje z0

(DH2) El eje x1 corta al eje z0

como se muestra en la Figura 3.2. Bajo estas condiciones, afirmamos que existen números únicos a, d, θ , α tales que

$$A = Rotz, \theta Transz, d Transx, a Rotx, \alpha.$$
 (3.11)

66CAPÍTULO 3. CINEMÁTICA AVANZADA: LA CONVENCIÓN DE DENAVIT-HARTENBERG

Por supuesto, dado que θ y α son ángulos, en realidad queremos decir que son únicos dentro de un múltiplo de 2π . Para mostrar que la matriz A se puede escribir de esta forma, escriba A como

y denotemos con ri las i el columna de la matriz de rotación R0 ₁ . Ahora examinaremos la implicaciones de las dos restricciones DH.

Si (DH1) se cumple, entonces x1 es perpendicular a z0 y tenemos x1 \cdot z0 = 0. Expresando esta restricción con respecto a o0x0y0z0, usando el hecho de que r1 es la representación del vector unitario x1 con respecto al marco 0, tenemos obtener

$$0 = x \ 1^{-0} \ _{0 \cdot_{z} 0} \tag{3.13}$$

$$= [r11, r21, r31] \qquad \qquad T \quad \cdot [0, 0, 1]T \tag{3.14}$$

$$= r31.$$
 (3.15)

Como r31 = 0, ahora solo necesitamos mostrar que existen ángulos únicos θ y α tales que

$$R_1^0 = Rx, \theta Rx, \alpha =$$

$$\begin{array}{c} c\theta - s\theta c\alpha s\theta s\alpha \\ s\theta c\theta c\alpha - c\theta s\alpha 0 \\ sa & ca \end{array}$$
(3.16)

La única información que tenemos es que r31 = 0, pero esto es suficiente. Primero, dado que cada fila y columna de R0, debe tener una unidad de longitud, r31 = 0 implica que

$$z_{11} + r_{21}^2 = 1,$$

 $z_{12} + r_{33}^2 = 1$ (3.17)

Por lo tanto, existen únicos θ, α tales que

$$(r11, r21) = (c\theta, s\theta),$$
 $(r33, r32) = (c\alpha, s\alpha).$ (3.18)

Una vez que se encuentran θ y α , es rutinario mostrar que los elementos restantes de R0 deben tener la forma que se muestra en (3.16), usando el hecho de que Res una matriz de rotación.

Luego, la suposición (DH2) significa que el desplazamiento entre o0 y o1 se puede expresar como una combinación lineal de los vectores z0 y x1. Esto se puede escribir como o1 = o0 + dz0 + ax1. Nuevamente, podemos expresar esta relación en las coordenadas de o0x0y0z0, y obtenemos

$$0_{o1} \quad 0 = 0 \quad + dZ_0^0 + hachaq$$
 (3.19)

3.2. REPRESENTACIÓN DE DENAVIT HARTENBERG

Combinando los resultados anteriores, obtenemos (3.10) como se afirma. Así, vemos que cuatro parámetros son suficientes para especificar cualquier transformación homogénea que satisfaga las restricciones (DH1) y (DH2).

67

Ahora que hemos establecido que cada matriz de transformación homogénea que satisface las condiciones (DH1) y (DH2) anteriores se puede representar en la forma (3.10), de hecho podemos dar una interpretación física a cada una de las cuatro cantidades en (3.10). El parámetro a es la distancia entre los ejes z0 y z1, y se mide a lo largo del eje x1. El ángulo α es el ángulo entre los ejes z0 y z1, medido en un plano normal a x1. El sentido positivo de α se determina de z0 a z1 mediante la regla de la mano derecha, como se muestra en la figura 3.3. El

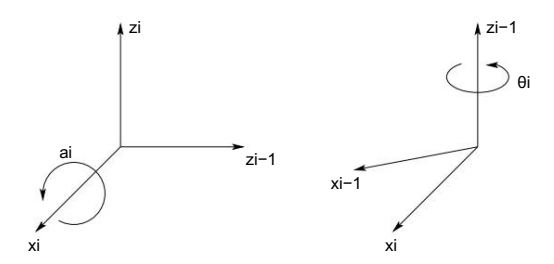


Figura 3.3: Sentido positivo de αi y θi .

el parámetro d es la distancia entre el origen o0 y la intersección del eje x1 con z0 medida a lo largo del eje z0. Finalmente, θ es el ángulo entre x0 y x1 medido en un plano normal a z0. Estas interpretaciones físicas resultarán útiles para desarrollar un procedimiento para asignar marcos de coordenadas que satisfagan las restricciones (DH1) y (DH2), y ahora centraremos nuestra atención en desarrollar dicho procedimiento.

3.2.2 Asignación de los marcos de coordenadas

Para un manipulador de robot dado, siempre se pueden elegir los marcos 0,..., n de tal manera que se cumplan las dos condiciones anteriores. En ciertas circunstancias, esto requerirá colocar el origen oi del marco i en una ubicación que puede no ser intuitivamente satisfactoria, pero normalmente este no será el caso. Al leer el material a continuación, es importante tener en cuenta que las opciones de los diversos marcos de coordenadas no son únicas, incluso cuando están limitadas por los requisitos anteriores. Por lo tanto, es posible que diferentes ingenieros obtengan asignaciones de marcos de coordenadas diferentes, pero igualmente correctas, para los enlaces del robot. Es muy importante notar, sin embargo, que el resultado final (es decir, la matriz T de la asignación de marcos de enlace ") será el mismo, independientemente intermedios (asumiendo que los marcos de coordenadas para el enlace n coinciden). Comenzaremos por derivar el procedimiento general. A continuación, discutir varios casos especiales comunes donde es posible simplificar aún más la matriz de transformación homogénea.

68CAPÍTULO 3. CINEMÁTICA AVANZADA: LA CONVENCIÓN DE DENAVIT-HARTENBERG

Para empezar, tenga en cuenta que la elección de zi es arbitraria. En particular, de (3.16) vemos que al elegir αi y θi apropiadamente, podemos obtener cualquier dirección arbitraria para zi . Así, para nuestro primer paso, asignamos los ejes z0,..., zn-1 de una manera intuitivamente agradable. En concreto, asignamos a zi el eje de actuación de la articulación i + 1. Así, z0 es el eje de actuación de la articulación 2, etc. Hay dos casos a considerar: (i) si la articulación i + 1 es giratoria, zi es el eje de revolución de la articulación i + 1; (ii) si el nudo i + 1 es prismático, zi es el eje de traslación del nudo i+1. Al principio puede parecer un poco confuso asociar zi con la articulación i + 1, pero recuerde que esto satisface la convención que establecimos en la Sección 3.1, a saber, que la articulación i está fija con respecto al marco i, y que cuando la articulación i se activa, enlace i y su marco adjunto, oixiyizi, experimentan un movimiento resultante.

Una vez que hemos establecido los ejes z para los enlaces, establecemos el marco base. La elección de un marco base es casi arbitraria. Podemos elegir que el origen o0 del marco base sea cualquier punto en z0. Luego elegimos x0, y0 de cualquier manera conveniente siempre que el marco resultante sea diestro. Esto configura el cuadro 0.

Una vez que se ha establecido el marco 0, comenzamos un proceso iterativo en el que definimos el marco i usando el marco i – 1, comenzando con el marco 1. La figura 3.4 será útil para comprender el proceso que ahora describimos.

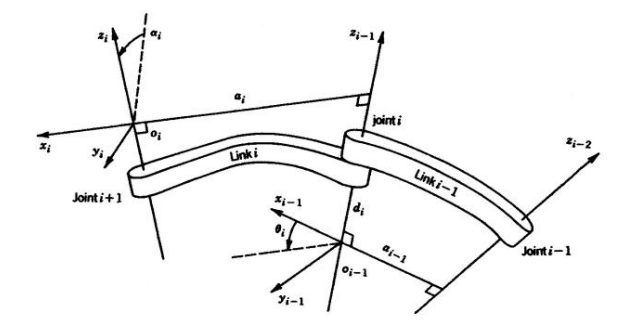


Figura 3.4: Asignación de tramas Denavit-Hartenberg.

Para configurar el marco i es necesario considerar tres casos: (i) los ejes zi-1, zi no son coplanares, (ii) los ejes zi-1, zi se intersecan (iii) los ejes zi-1, zi son paralelos. Tenga en cuenta que en ambos casos (ii) y (iii) los ejes zi-1 y zi son coplanares. De hecho, esta situación es bastante común, como veremos en la Sección 3.3. Consideremos ahora cada uno de estos tres casos.

(i) zi-1 y zi no son coplanares: si zi-l y zi no son coplanares, entonces existe un único segmento de línea perpendicular tanto a zi-1 como a zi tal que conecta ambas líneas y tiene una longitud mínima. La línea que contiene esta normal común a zi-1 y zi define xi

3.2. REPRESENTACIÓN DE DENAVIT HARTENBERG

69

y el punto donde esta línea se cruza con zi es el origen de oi . Por construcción, ambas condiciones (DH1) y (DH2) se cumplen y el vector de oi-1 a oi es una combinación lineal de zi-1 y xi . La especificación del marco i se completa eligiendo el eje yi para formar un marco de la derecha. Dado que se cumplen los supuestos (DH1) y (DH2), la matriz de transformación homogénea Ai tiene la forma (3.10).

(ii) zi-1 es paralelo a zi: si los ejes zi-1 y zi son paralelos, entonces hay infinitas normales comunes entre ellos y la condición (DH1) no especifica xi por completo.

En este caso, somos libres de elegir el origen oi en cualquier lugar a lo largo de zi . A menudo se elige oi para simplificar las ecuaciones resultantes. Entonces, el eje xi se elige para que esté dirigido desde oi hacia zi-1, a lo largo de la normal común, o como el opuesto de este vector. Un método común para elegir oi es elegir la normal que pasa por oi-1 como el eje xi; oi es entonces el punto de intersección de esta normal con zi . En este caso, di sería ioual a cero.

Una vez que se fija xi , se determina yi , como de costumbre, por la regla de la mano derecha. Como los ejes zi-1 y zi son paralelos, αi será cero en este caso.

(iii) zi-1 corta a zi: En este caso, xi se elige normal al plano formado por zi y zi-1. La dirección positiva de xi es arbitraria. La elección más natural para el origen de oi en este caso está en el punto de intersección de zi y zi-1. Sin embargo, cualquier punto conveniente a lo largo del eje zi es suficiente. Tenga en cuenta que en este caso el parámetro ai es igual a 0.

Este procedimiento constructivo funciona para tramas 0, ..., n-l en un robot de enlace n. Para completar la construcción, es necesario especificar el marco n. El sistema de coordenadas final onxnynzn se conoce comúnmente como el marco de herramienta o efector final (consulte la figura 3.5). El origen

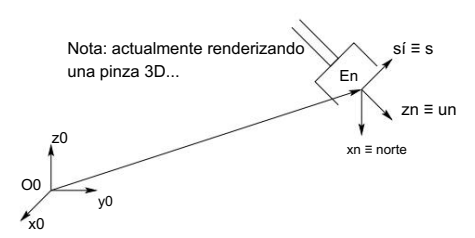


Figura 3.5: Asignación de cuadros de herramientas

en la mayoría de los casos se coloca simétricamente entre los dedos de la pinza. Los vectores unitarios a lo largo de los ejes xn, yn y zn están etiquetados como n, s y a, respectivamente. La terminología surge del hecho de que la dirección a es la dirección de aproximación, en el sentido de que la pinza normalmente se acerca a un objeto a lo largo de la dirección a . De manera similar, la dirección s es la dirección de deslizamiento, la dirección a lo largo de la cual los dedos de la pinza se deslizan para abrirse y cerrarse, y n es la dirección normal al plano formado por a y s.

70CAPÍTULO 3. CINEMÁTICA AVANZADA: LA CONVENCIÓN DE DENAVIT-HARTENBERG

En los robots contemporáneos, el movimiento articular final es una rotación del efector final por θn y los dos ejes finales articulares, zn-1 y zn, coinciden. En este caso, la transformación entre los dos marcos de coordenadas finales es una traslación a lo largo de zn-1 por una distancia dn seguida (o precedida) por una rotación de θn radianes sobre zn-1. Esta es una observación importante que simplificará el cálculo de la cinemática inversa en el próximo capítulo.

Finalmente, tenga en cuenta el siguiente hecho importante. En todos los casos, ya sea que la articulación en cuestión sea giratoria o prismática, las cantidades ai y di son siempre constantes para todo i y son características del manipulador. Si la articulación i es prismática, entonces θi también es una constante, mientras que di th es la i variable conjunta. De manera similar, si el eje i es giratorio, entonces di es constante y θi es la variable del eie i.

3.2.3 Resumen

Podemos resumir el procedimiento anterior basado en la convención DH en el siguiente algoritmo para derivar la cinemática directa para cualquier manipulador.

- Paso I: Ubique y etiquete los ejes de articulación z0,..., zn-1.
- Paso 2: Establecer el marco base. Establezca el origen en cualquier lugar del eje z0. El x0 y el y0 los ejes se eligen convenientemente para formar un marco de mano derecha.
 - Para i = 1, ..., n 1, realice los pasos 3 a 5.
- Paso 3: Ubique el origen oi donde la normal común a zi y zi-1 intersecta a zi . Si zi se interseca con zi-1, localiza oi en esta intersección. Si zi y zi-1 son paralelos, ubique oi en cualquier posición conveniente a lo largo de zi .
- Paso 4: Establezca xi a lo largo de la normal común entre zi-1 y zi a través de oi , o en la dirección normal al plano zi-1 zi si zi-1 y zi se cruzan.
- Paso 5: Establezca yi para completar un marco de mano derecha.
- Paso 6: establecer el marco del efector final en xnynzn. Suponiendo que la n-ésima articulación es giratoria, establezca zn = a a lo largo de la dirección zn-1. Establezca el origen en convenientemente a lo largo de zn, preferiblemente en el centro de la pinza o en la punta de cualquier herramienta que lleve el manipulador. Establezca yn = s en la dirección del cierre de la pinza y establezca xn = n como s × a. Si la herramienta no es una pinza simple, ajuste xn e yn convenientemente para formar un marco de mano derecha.
- Paso 7: Cree una tabla de parámetros de enlace ai , di , ai , θi .
 - ai = distancia a lo largo de xi desde oi hasta la intersección de los ejes xi y zi-1 . di = distancia
 - a lo largo de zi-1 desde oi-1 hasta la intersección de los ejes xi y zi-1 . di es variable si la articulación i es prismática.
 - αi = el ángulo entre zi-1 y zi medido con respecto a xi (ver Figura 3.3).

3.3. EJEMPLOS 71

θi = el ángulo entre xi-1 y xi medido con respecto a zi-1 (ver Figura 3.3). θi es variable si la articulación i es giratoria.

Paso 8: Forme las matrices de transformación homogéneas Ai sustituyendo los parámetros anteriores en (3.10)

Paso 9: Formulario T_0 = A1 · · · An. Esto luego da la posición y orientación de la herramienta. marco expresado en coordenadas base.

3.3 Ejemplos

En la convención DH, el único ángulo variable es θ , por lo que simplificamos la notación escribiendo ci para $\cos \theta$ i , etc., También denotamos $\theta 1 + \theta 2 \cos \theta 1$

Ejemplo 3.1 Manipulador de codo plano Considere el

brazo plano de dos vínculos de la figura 3.6. Los ejes de articulación z0 y z1 son normales a

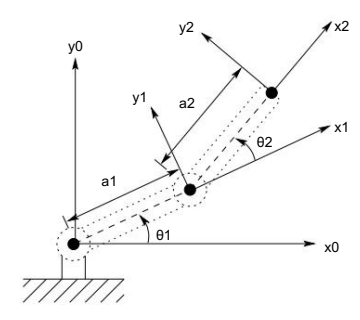


Figura 3.6: Manipulador plano de dos vínculos. Todos los ejes z apuntan fuera de la página y no se muestran en la figura.

la página. Establecemos el marco base o0x0y0z0 como se muestra. El origen se elige en el punto de intersección del eje z0 con la página y la dirección del eje x0 es completamente arbitraria. Una vez que se establece el marco base, el marco o1x1y1z1 se fija como se muestra en la convención DH, donde el origen o1 se ha ubicado en la intersección de z1 y la página.

El cuadro final o2x2y2z2 se fija eligiendo el origen o2 al final del enlace 2 como se muestra. Los parámetros del enlace se muestran en la Tabla 3.1. Las matrices A se determinan a partir de (3.10) como

72CAPÍTULO 3. CINEMÁTICA AVANZADA: LA CONVENCIÓN DE DENAVIT-HARTENBERG

Tabla 3.1: Parámetros de enlace para manipulador plano de 2 enlaces.

Enlace	ai αi	di θi	a1 0	οө
1	a	200	θ	1
2				2

$$c2 -s2 0 a2c2 s2 c2$$

$$0 a2s2 0 0 1 0$$

$$0 0 0 1$$
(3.23)

Las matrices T están dadas por lo tanto por

$$\Gamma_1^0 = A1. \tag{3.24}$$

$$c12 - s12 \ 0 \ a1c1 + a2c12 \ c12 \ 0$$

$$s12 \qquad a1s1 + a2s12 \ 0 \ 1 \ 0 \ 0 \ 1$$

$$0 \qquad (3.25)$$

Observe que las dos primeras entradas de la última columna de T $_2^0$ son las componentes x e y de el origen o2 en el marco base; eso es,

$$x = a1c1 + a2c12$$
 (3.26)
 $y = a1s1 + a2s12$

son las coordenadas del efector final en el marco base. La parte rotacional de la orientación T del 0_2 da el marco o2x2y2z2 en relación con el marco base.

Ejemplo 3.2 Robot cilíndrico de tres vínculos Considere ahora

el robot cilíndrico de tres vínculos representado simbólicamente en la figura 3.7. Establecemos o0 como se muestra en la articulación 1. Tenga en cuenta que la ubicación del origen o0 a lo largo de z0 , así como la dirección del eje x0 , son arbitrarias. Nuestra elección de o0 es la más natural, pero o0 también podría colocarse en la articulación 2. El eje x0 se elige normal a la página. A continuación, dado que z0 y z1 coinciden, se elige el origen o1 en el nodo 1, como se muestra. El eje x1 es normal a la página cuando 01 = 0 pero, por supuesto, su dirección cambiará ya que 01 es variable. Como z2 y z1 se intersecan, el origen o2 se coloca en esta intersección. Se elige la dirección de x2

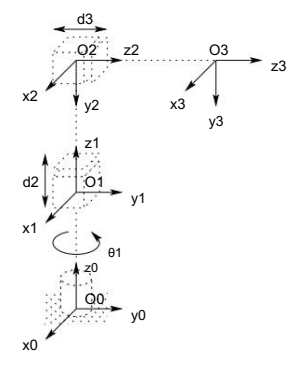


Figura 3.7: Manipulador cilíndrico de tres enlaces.

Tabla 3.2: Parámetros de enlace para manipulador cilíndrico de 3 enlaces.

enlace	ai	ai	di θi	d1
1	0	0	θ	1
2	0 -	90 día 2	0	0
3	0 d	ía 3		0

variable

paralela a x1 para que θ 2 sea cero. Finalmente, el tercer cuadro se elige al final del enlace 3 como se muestra.

Los parámetros del enlace ahora se muestran en la Tabla 3.2. Las matrices A y T correspondientes

74CAPÍTULO 3. CINEMÁTICA AVANZADA: LA CONVENCIÓN DE DENAVIT-HARTENBERG

son

$$A1 = \begin{array}{c} & \text{c1} - \text{s1} \ 0 \ 0 \ \text{s1} \ \text{c1} \\ & 0 \ 0 \ 0 \ 1 \ \text{d1} \ 0 \ 0 \ 1 \\ & 0 \\ & 10 \ 0 \ 0 \\ & 0 \ 10 \ 0 \\ & 0 - 1 \ 0 \ \text{d2} \ 0 \ 0 \ 0 \\ & 1 \\ & 10 \ 0 \ 0 \\ & 0 \ 1 \ \text{d3} \ 0 \ 0 \\ & 0 \ 1 \ \text{d3} \ 0 \ 0 \\ & 0 \ 1 \end{array} \right)$$

$$T_3^0 = A1A2A3 =$$

$$\begin{array}{c} c1 \ 0 - s1 - s1d3 \\ s1 \ 0 \ c1d3 \ 0 \ e11 \ 0 \ d1 + \\ d2 \ 0 \ 0 \ 0 \end{array} \qquad . \tag{3.28}$$

Ejemplo 3.3 Muñeca esférica

Figura 3.8: Asignación del marco de la muñeca esférica.

La configuración de muñeca esférica se muestra en la figura 3.8, en la que los ejes de articulación z3, z4, z5 se cruzan en o. Los parámetros de Denavit-Hartenberg se muestran en la Tabla 3.3. El manipulador de Stanford es un ejemplo de manipulador que posee una muñeca de este tipo. De hecho, el siguiente análisis se aplica a prácticamente todas las muñecas esféricas.

Mostramos ahora que las tres variables conjuntas finales, $\theta4$, $\theta5$, $\theta6$ son los ángulos de Euler ϕ , θ , ψ , respectivamente, con respecto al marco de coordenadas o3x3y3z3. Para ver esto solo necesitamos calcular

3.3. EJEMPLOS 75

Tabla 3.3: Parámetros DH para muñeca esférica.

enlace	ai	ai	di θi	
4	0 -	90 0 θ		4
5	0.9	000		5
6	0	0	d6 6	6

variable

las matrices A4, A5 y A6 utilizando la tabla 3.3 y la expresión (3.10). Esto da

Multiplicando estos rendimientos juntos

0 1 d6 **0** 0 0 1

Comparando la parte rotacional R3 de T_6^3 con la transformación del ángulo de Euler (2.51) muestra que $\theta4$, $\theta5$, $\theta6$ pueden identificarse como los ángulos de Euler ϕ , θ y ψ con respecto al marco de coordenadas o3x3y3z3.

Ejemplo 3.4 Manipulador cilíndrico con muñeca esférica

Suponga que ahora conectamos una muñeca esférica al manipulador cilíndrico del ejemplo 3.3.2 como se muestra en la figura 3.9. Tenga en cuenta que el eje de rotación de la articulación 4 es paralelo a z2 y por tanto coincide con el eje z3 del ejemplo 3.3.2. La implicación de esto es que podemos

76CAPÍTULO 3. CINEMÁTICA AVANZADA: LA CONVENCIÓN DE DENAVIT-HARTENBERG

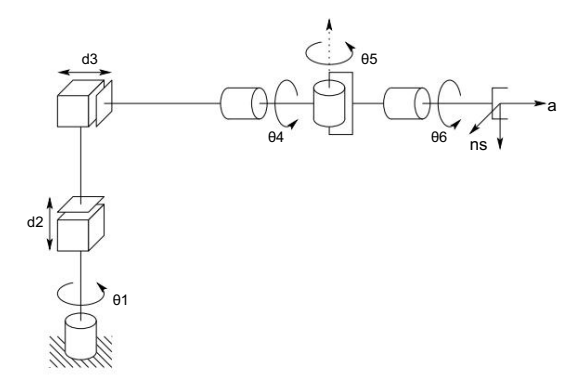


Figura 3.9: Robot cilíndrico con muñeca esférica.

combine inmediatamente las dos expresiones anteriores (3.28) y (3.32) para derivar el avance cinemática como

$$\mathsf{T}_{6}^{\,0} = \mathsf{T}_{3}^{\,0} \mathsf{T}_{6}^{\,3} \tag{3.33}$$

con T $_{\rm 6}^{\rm 0}$ dado por (3.28) y T $_{\rm 6}^{\rm 3}$ dada por (3.32). Por lo tanto, la cinemática directa de este manipulador es descrito por

$$T_6^0 = \begin{cases} c10 - s1 - s1d1 & c4c5c6 - s4c6 - c4c5s6 - s4c6 - c4s5 - c4s5d6 \\ s10 & c1 & c1d3 & s4c5c6 + c4s6 - s4c5s6 + c4c6 - s4s5 - c4s5d6 \\ 0 - 1 0 d1 + d2 & s5c6 & c5 & c5d6 - c5 \\ 0 0 0 & 1 & 0 & 0 & 0 & 1 \end{cases}$$

$$= \begin{cases} r11 r12 r13 dx \\ r21 r22 r23 dia \\ r31 r32 r33 \\ 0 0 0 1 \end{cases}$$

dónde

```
r11 = c1c4c5c6 - c1s4s6 + s1s5c6

r21 = s1c4c5c6 - s1s4s6 - c1s5c6

r31 = -s4c5c6 - c4s6

r12 = -c1c4c5s6 - c1s4c6 - s1s5c6

r22 = -s1c4c5s6 - s1s4s6 + c1s5c6

r32 = s4c5c6 - c4c6

r13 = c1c4s5 - s1c5

r23 = s1c4s5 + c1c5

r33 = -s4s5

dx = c1c4s5d6 - s1c5d6 - s1d3

dy = s1c4s5d6 + c1c5d6 + c1d3 dz = -s4s5d6 + d1 + d2.
```

Observe cómo la mayor parte de la complejidad de la cinemática directa de este manipulador resulta de la orientación del efector final, mientras que la expresión para la posición del brazo de (3.28) es bastante simple. La suposición de la muñeca esférica no solo simplifica aquí la derivación de la cinemática directa, sino que también simplificará en gran medida el problema de la cinemática inversa en el próximo capítulo.

Ejemplo 3.5 Manipulador de Stanford

Considere ahora el manipulador de Stanford que se muestra en la figura 3.10. Este manipulador es un

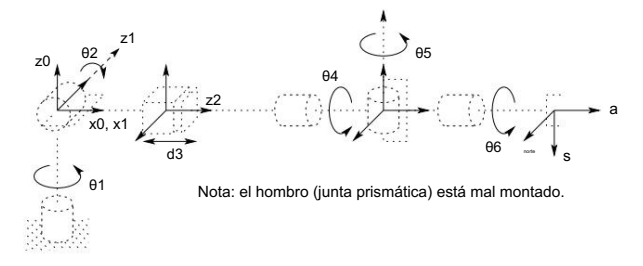


Figura 3.10: Asignación del marco de coordenadas DH para el manipulador de Stanford.

ejemplo de un manipulador esférico (RRP) con una muñeca esférica. Este manipulador tiene un desplazamiento en la articulación del hombro que complica ligeramente los problemas de cinemática directa e inversa.

78CAPÍTULO 3. CINEMÁTICA AVANZADA: LA CONVENCIÓN DE DENAVIT-HARTENBERG

Tabla 3.4: Parámetros DH para el manipulador Stanford.

Enlace	di ai d	xi θi 0	0 -90	
1	d2 (+90	0	b
2				
3				
040	0 -90	0	0 +90	d6
5	0			
6			0	

variable conjunta

Primero establecemos los marcos de coordenadas conjuntas usando la convención DH como se muestra. El los parámetros del enlace se muestran en la Tabla 3.4.

0

Es sencillo calcular las matrices Ai como

T₆ entonces se da como

$$T_{6}^{0} = A1 \cdots A6$$

$$r11 \ r12 \ r13 \ dx$$

$$= r21 \ r22 \ r23 \ dy$$

$$r31 \ r32 \ r33 \ dz \ 0$$

$$0 \ 0 \ 1$$

$$(3.42)$$

dónde

$$r11 = c1[c2(c4c5c6 - s4s6) - s2s5c6] - d2(s4c5c6 + c4s6) r21 = s1[c2(c4c5c6 - s4s6) - s2s5c6] + c1(s4c5c6 + c4s6) r31 = -s2(c4c5c6 - s4s6) - c2s5c6 r12 = c1[-c2(c4c5s6 + s4c6) + s2s5s6] - s1(-s4c5s6 + c4c6) r22 = -s1[-c2(c4c5s6 + s4c6) + s2s5s6] + c1(-s4c5s6 + c4c6) r32 = s2(c4c5s6 + s4c6) + c2s5s6 r13 = (3.43) c1(c2c4s5 + s2c5) - s1s4s5 r23 = s1 (c2c4s5 + s2c5) + c1s4s5 r33 = -s2c4s5 + c2c5 dx = c1s2d3 - s1d2 + d6(c1c2c4 s5 + c1c5s2 - s1s4s5) dy = s1s2d3 + c1d2 + d6(c1s4s5 + c2c4s1s5 + c5s1s2) dz = c2d3 + d6(c2c5 - c4s2s5).$$

Ejemplo 3.6 Manipulador SCARA

Como otro ejemplo del procedimiento general, considere el manipulador SCARA de la figura 3.11. Este manipulador, que es una abstracción del robot AdeptOne de la figura 1.11, consta de un brazo RRP y una muñeca de un grado de libertad, cuyo movimiento es un giro sobre el eje vertical. El primer paso es ubicar y etiquetar los ejes de las articulaciones como se muestra. Dado que todos los ejes de las articulaciones son paralelos, tenemos cierta libertad en la ubicación de los orígenes. Los orígenes se colocan como se muestra por conveniencia. Establecemos el eje x0 en el plano de la página como se muestra. Esto es completamente arbitrario y solo afecta la configuración cero del manipulador, es decir, la posición del manipulador cuando 01 = 0.

Los parámetros conjuntos se dan en la Tabla 3.5, y las matrices A son las siguientes.

80CAPÍTULO 3. CINEMÁTICA AVANZADA: LA CONVENCIÓN DE DENAVIT-HARTENBERG

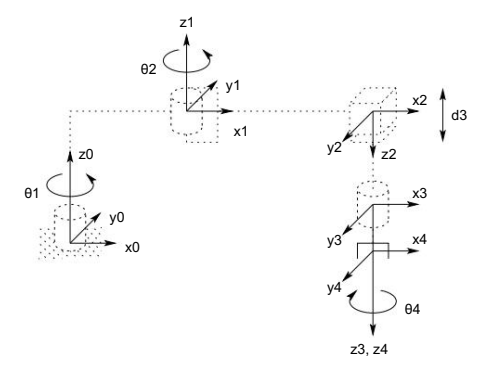


Figura 3.11: Asignación del marco de coordenadas DH para el manipulador SCARA.

Tabla 3.5: Parámetros conjuntos para SCARA.

Enlace	ai	ai	di 6	€i
1		0	0	
2	a1	a2 18	0 0	
	0.0	0	0 0 c	14
3 4				

variable conjunta

$$c2 s2 0 a2c2 s2 -c2$$

$$A2 = 0 a2s2 0 0 -1 0 0 0 0$$

$$1 (3.46)$$

A3 =
$$\begin{array}{c} 1000 \\ 0100 \\ 001d300 \\ 01 \end{array}$$
 (3.47)

Por lo tanto, las ecuaciones cinemáticas directas están dadas por

$$T_4^0 = A1 \cdots A4 = \begin{pmatrix} c12c4 + s12s4 - c12s4 + s12c4 \ 0 \ a1c1 + a2c12 \\ s12c4 - c12s4 - s12s4 - c12c4 \ 0 \ a1s1 + a2s12 \\ 0 & 0 & -1 \ -d3 \ -d4 \\ 0 & 0 & 0 \end{pmatrix}. \quad (3.49)$$

82CAPÍTULO 3. CINEMÁTICA AVANZADA: LA CONVENCIÓN DE DENAVIT-HARTENBERG

Capítulo 4

CINEMÁTICA INVERSA

En el capítulo anterior mostramos cómo determinar la posición y orientación del efector final en términos de las variables conjuntas. Este capítulo se ocupa del problema inverso de encontrar las variables conjuntas en términos de la posición y orientación del efector final. Este es el problema de la cinemática inversa y, en general, es más difícil que el problema de la cinemática directa.

En este capítulo, comenzamos formulando el problema general de cinemática inversa. A continuación, describimos el principio del desacoplamiento cinemático y cómo se puede utilizar para simplificar la cinemática inversa de la mayoría de los manipuladores modernos. Usando el desacoplamiento cinemático, podemos considerar los problemas de posición y orientación de forma independiente. Describimos un enfoque geométrico para resolver el problema de posicionamiento, mientras explotamos la parametrización del ángulo de Euler para resolver el problema de orientación.

4.1 El problema general de la cinemática inversa

El problema general de la cinemática inversa puede enunciarse como sigue. Dada una transformación homogénea 4 × 4

$$H = \begin{pmatrix} R \circ 0 \\ 1 \end{pmatrix} SE(3)$$
 (4.1)

con R SO(3), encontrar (una o todas) las soluciones de la ecuación

$$T_{-}^{\circ}(q1,...,qn) = H$$
 (4.2)

dónde

$$\mathsf{T} \circ (\mathsf{q1}, \dots, \mathsf{qn}) = \mathsf{A1}(\mathsf{q1}) \cdots \mathsf{An}(\mathsf{qn}). \tag{4.3}$$

Aquí, H representa la posición y orientación deseadas del efector final, y nuestra tarea es encontrar los valores para las variables conjuntas q1,..., qn para que T $\begin{tabular}{l} @ (q1,...,qn) = H. \end{tabular}$

83

CAPÍTULO 4. CINEMÁTICA INVERSA

La ecuación (4.2) da como resultado doce ecuaciones no lineales en n variables desconocidas, que se pueden escribir como

Tij
$$(q1, ..., qn) = hij$$
, $4i = 1, 2, 3, j = 1, ...$, (4.4)

donde Tij , hij se refieren a las doce entradas no triviales de T fila _ _ º y H, respectivamente. (Como the y H inferior de ambos T (4.2) _ _ º son (0,0,0,1), cuatro de las dieciséis ecuaciones representadas por son triviales.)

Ejemplo 4.1

84

Recuerde el manipulador de Stanford del ejemplo 3.3.5. Suponga que la posición deseada y la orientación del cuadro final viene dada por

Para encontrar las variables conjuntas correspondientes θ 1, θ 2, d3, θ 4, θ 5 y θ 6 debemos resolver el siguiente conjunto simultáneo de ecuaciones trigonométricas no lineales (cf. (3.43) y (3.44)):

Las ecuaciones del ejemplo anterior son, por supuesto, demasiado difíciles de resolver directamente en forma cerrada. Este es el caso de la mayoría de los brazos robóticos. Por lo tanto, necesitamos desarrollar técnicas eficientes y sistemáticas que exploten la estructura cinemática particular del manipulador. Mientras que el problema de la cinemática directa siempre tiene una solución única que se puede obtener simplemente evaluando las ecuaciones directas, el problema de la cinemática inversa puede o no tener una solución. Incluso si existe una solución, puede o no ser única.

4.2. DESACOPLAMIENTO CINEMÁTICO

Además, debido a que estas ecuaciones cinemáticas directas son en general funciones no lineales complicadas de las variables conjuntas, las soluciones pueden ser difíciles de obtener incluso cuando

Al resolver el problema de la cinemática inversa, estamos más interesados en encontrar una solución de forma cerrada de las ecuaciones que una solución numérica. Encontrar una solución de forma cerrada significa encontrar una relación explícita:

$$qk = fk(h11,..., h34), k = 1,...,$$
 (4.6)

85

Las soluciones de forma cerrada son preferibles por dos razones. Primero, en ciertas aplicaciones, como el seguimiento de una costura de soldadura cuya ubicación es proporcionada por un sistema de visión, las ecuaciones cinemáticas inversas deben resolverse a una velocidad rápida, digamos cada 20 milisegundos, y tener expresiones de forma cerrada en lugar de una búsqueda iterativa es un problema, necesidad práctica, Segundo, las ecuaciones cinemáticas en general tienen múltiples soluciones. Tener soluciones de forma cerrada permite desarrollar reglas para elegir una solución particular entre varias.

La cuestión práctica de la existencia de soluciones al problema de la cinemática inversa depende tanto de la ingeniería como de consideraciones matemáticas. Por ejemplo, el movimiento de las articulaciones giratorias puede estar restringido a menos de 360 grados completos de rotación, de modo que no todas las soluciones matemáticas de las ecuaciones cinemáticas se correspondan con configuraciones físicamente realizables del manipulador. Supondremos que la posición y la orientación dadas son tales que existe al menos una solución de (4.2). Una vez que se identifica una solución a las ecuaciones matemáticas, se debe verificar más a fondo para ver si satisface o no todas las restricciones sobre los rangos de posibles movimientos de las articulaciones. Para nuestros propósitos aquí, de ahora en adelante supondremos que la matriz homogénea H dada en (4.2) corresponde a una configuración dentro del espacio de trabajo del manipulador con una orientación alcanzable. Esto entonces garantiza que las soluciones matemáticas obtenidas correspondan a configuraciones alcanzables.

4.2 Desacoplamiento Cinemático

Aunque el problema general de la cinemática inversa es bastante difícil, resulta que para los manipuladores que tienen seis articulaciones, con las últimas tres articulaciones intersecándose en un punto (como el manipulador de Stanford anterior), es posible desacoplar el problema de la cinemática inversa en dos problemas más simples, conocidos respectivamente como cinemática de posición inversa y cinemática de orientación inversa. Para decirlo de otra manera, para un manipulador de seis grados de libertad con una muñeca esférica, el problema de la cinemática inversa puede dividirse en dos problemas más simples, a saber, primero encontrar la posición de la intersección de los ejes de la muñeca, en lo sucesivo llamado centro de la muñeca, y luego encontrar la orientación de la muñeca.

Para concretar, supongamos que hay exactamente seis grados de libertad y que los tres últimos ejes de articulación se cortan en un punto oc . Expresamos (4.2) como dos conjuntos de ecuaciones que representan las ecuaciones de rotación y posición

$$R_0(q1,...,q6) = R$$
 (4.7)
 ${}_0^6(q1,...,q6) = 0$ (4.8)

$$_{\circ, 6}(q1, \dots, q6) = 0$$
 (4.8)

86 CAPÍTULO 4. CINEMÁTICA INVERSA

donde o y R son la posición y la orientación deseadas del marco de la herramienta, expresadas con respecto al sistema de coordenadas mundial. Por lo tanto, tenemos o y R, y el problema de cinemática inversa es resolver para q1,..., q6.

La suposición de una muñeca esférica significa que los ejes z3, z4 y z5 se intersecan en oc y, por lo tanto, los orígenes o4 y o5 asignados por la convención DH siempre estarán en el centro de la muñeca oc . A menudo o3 también estará en oc . pero esto no es necesario para nuestro desarrollo posterior. El punto importante de esta suposición para la cinemática inversa es que el movimiento de los tres eslabones finales sobre estos ejes no cambiará la posición de oc v. por lo tanto, la posición del centro de la muñeca es una función de solo las tres primeras variables articulares.

El origen del marco de la herramienta (cuyas coordenadas deseadas están dadas por o) se obtiene simplemente mediante una traslación de la distancia d6 a lo largo de z5 desde oc (yea la Tabla 3.3). En nuestro caso, z5 y z6 son el mismo eje, y la tercera columna de R expresa la dirección de z6 con respecto al marco base. Por lo tanto, tenemos

Así, para tener el efector final del robot en el punto con coordenadas dadas por o y con la orientación del efector final dada por R = (rij), es necesario y suficiente que el centro de la muñeca oc tenga coordenadas dadas por

$$_{\circ\circ}$$
 = 0 - d6R $_{1}^{0}$ (4.10)

y que la orientación del marco o6x6y6z6 con respecto a la base esté dada por R. Si los componentes de la posición del efector final o se denotan ox, oy, oz y los componentes del centro de la muñeca o

se denotan xc, yc, zc entonces (4.10) da la relación

$$xc$$
 = xc =

Usando la Ecuación (4.11) podemos encontrar los valores de las tres primeras variables conjuntas. determina la transformación de orientación R0 Esto que depende únicamente de estas tres primeras variables conjuntas. Ahora podemos determinar la orientación del efector final en relación con el marco o3x3y3z3 a partir de la expresión

$$R = R$$
 $3R_{\frac{3}{6}}$ (4.12)

 $R_3 = (R_{0}) - 1R = (R_0) T^r$ (4.13)

Como veremos en la Sección 4.4, los tres ángulos articulares finales se pueden encontrar como un conjunto de ángulos de Euler correspondientes a R3 6. Tenga en cuenta que el lado derecho de (4.13) se conoce completamente ya que se da R y R0 se puede calcular una vez que se conocen las tres primeras variables conjuntas. La idea del desacoplamiento cinemático se ilustra en la figura 4.1.



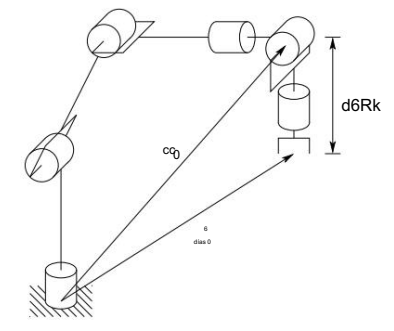


Figura 4.1: Desacoplamiento cinemático.

Resumen

Para esta clase de manipuladores, la determinación de la cinemática inversa puede resumirse mediante el siguiente algoritmo.

Paso 1: Encuentre q1, q2, q3 tal que el centro de la muñeca oc tenga las coordenadas dadas por

Paso 2: Usando las variables conjuntas determinadas en el Paso 1, evalúe R0.

Paso 3: Encuentra un conjunto de ángulos de Euler correspondientes a la matriz de rotación

$$R_{0}^{3} = (R_{0}^{0})^{-1}R = (R_{0}^{0})^{T}r$$
 (4.15)

4.3 Posición inversa: un enfoque geométrico

Para los arreglos cinemáticos comunes que consideramos, podemos usar un enfoque geométrico para encontrar las variables q1, q2, q3 correspondientes a o dadas por (4.10). Restiringimos nuestro tratamiento al enfoque geométrico por dos razones. En primer lugar, como hemos didho, la mayoría de los diseños de manipuladores actuales son cinemáticamente simples y generalmente consisten en una de las cinco configuraciones básicas del Capítulo 1 con una muñeca esferica. De hecho, es en parte debido a la dificultad del problema general de cinemática inversa que los diseños de manipuladores han evolucionado hasta su estado actual.

En segundo lugar, existen pocas técnicas que puedan manejar el problema general de la cinemática inversa para configuraciones arbitrarias. Dado que es más probable que el lector encuentre configuraciones de robots

CAPÍTULO 4. CINEMÁTICA INVERSA

del tipo considerado aquí, la dificultad añadida que implica tratar el caso general parece injustificada. Se dirige al lector a las referencias al final del capítulo para el tratamiento del caso general.

En general, la complejidad del problema de cinemática inversa aumenta con el número de parámetros de enlace distintos de cero. Para la mayoría de los manipuladores, muchos de los ai di son cero, los α i son 0 o $\pm\pi/2$, etc. Especialmente en estos casos, un enfoque geométrico es el más simple y natural. Ilustraremos esto con varios ejemplos importantes.

Configuración articulada

88

Odenotado

Considere el manipulador de codo que se muestra en la figura 4.2, con las componentes de o por xc, yc, zc. Proyectamos oc sobrec

el plano x0 - y0 como se muestra en la figura 4.3.

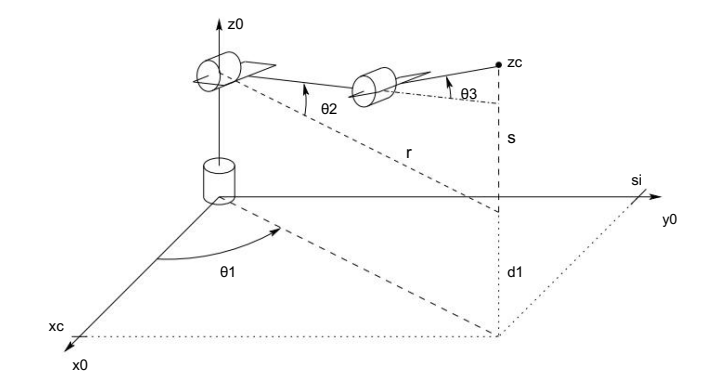


Figura 4.2: Manipulador de codo.

Vemos en esta proyección que

$$\theta 1 = A \tan(xc, yc), \tag{4.16}$$

en la que A tan(x, y) denota la función arcotangente de dos argumentos. Un tan(x, y) se define para todo (x, y) = (0, 0) y es igual al único ángulo θ tal que

$$\cos \theta = \frac{x}{(X^2 + y 2)^{\frac{1}{2}}}, \quad \sin \theta = \frac{y}{(X^2 + y 2)^{\frac{1}{2}}}.$$
 (4.17)

Por ejemplo, A $tan(1, -1) = -\frac{\pi}{4}$, mientras que A $tan(-1, 1) = +34\pi$.

Tenga en cuenta que una segunda solución válida para θ1 es

$$\theta 1 = \pi + A \tan(xc, yc). \tag{4.18}$$

4.3. POSICIÓN INVERSA: UN ENFOQUE GEOMÉTRICO

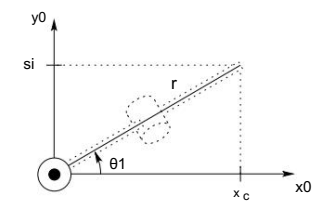


Figura 4.3: Proyección del centro de la muñeca en el plano x0 - y0 .

Por supuesto, esto, a su vez, conducirá a diferentes soluciones para θ2 y θ3, como veremos a continuación.

Estas soluciones para θ1 son válidas a menos que xc = yc = 0. En este caso (4.16) no está definida y el manipulador está en una configuración singular, como se muestra en la Figura 4.4. En esta posición el

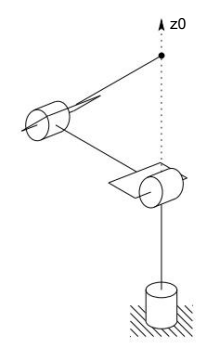


Figura 4.4: Configuración singular.

el centro de la muñeca oc se cruza con z0; por tanto, cualquier valor de $\theta 1$ deja fijo a oc . Por lo tanto, hay infinitas soluciones para $\theta 1$ cuando oc interseca a z0.

Si hay un desplazamiento d = 0 como se muestra en la Figura 4.5, entonces el centro de la muñeca no puede intersectar z0. En este caso, dependiendo de cómo se hayan asignado los parámetros DH, tendremos d2 = d o d3 = d. En este caso, habrá, en general, solo dos soluciones para θ1. Estos corresponden a las denominadas configuraciones de brazo izquierdo y brazo derecho, como se muestra en las Figuras 4.6 y 4.7. La Figura 4.6 muestra la configuración del brazo izquierdo. De esta figura, vemos geométricamente que

$$\theta 1 = \varphi - \alpha \tag{4.19}$$

CAPÍTULO 4. CINEMÁTICA INVERSA

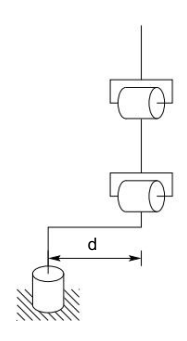


Figura 4.5: Manipulador de codo con desplazamiento de hombro.

dónde

90

$$\varphi = A \text{ bronceado}(xc, yc)$$
 (4.20)

$$2 \alpha = A \tan r$$
 - re 2, re (4.21)

La segunda solución, dada por la configuración del brazo derecho que se muestra en la Figura 4.7, está dada por

$$\theta$$
1 = A tan(xc, yc) + A tan - r $\frac{}{}^{2}$ - re 2, - re . (4.22)

Para ver esto, tenga en cuenta que

$$\Theta 1 = \alpha + \beta \alpha = A \tag{4.23}$$

$$tan(xc, yc) \beta = \gamma + \pi$$
 (4.24)

$$y = A \tan(r)$$
 (4.26)

(4.27)

que juntos implican que

$$\beta$$
 = A bronceado – r $\frac{}{}^2$ – re 2, – re (4.28)

ya que $cos(\theta + \pi) = -cos(\theta)$ y $sen(\theta + \pi) = -sen(\theta)$.

Para encontrar los ángulos θ2, θ3 para el manipulador de codo, dado θ1, consideramos el plano formado por el segundo y tercer eslabón como se muestra en la figura 4.8. Dado que el movimiento de los enlaces

4.3. POSICIÓN INVERSA: UN ENFOQUE GEOMÉTRICO

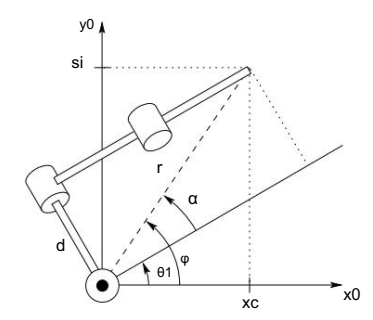


Figura 4.6: Configuración del brazo izquierdo.

dos y tres es plana, la solución es análoga a la del manipulador de dos vínculos del Capítulo 1. Como en nuestra derivación anterior (cf. (1.8) y (1.9)) podemos aplicar la ley de los cosenos para obtener

$$cos θ3 = \frac{2 2 2 2 + sr - un - un 2 3}{2 a 2 a 3}$$

$$= \frac{2 c + y \frac{2}{c} - re^{\frac{2}{c}} + z \frac{2 2 - un 2}{c^{\frac{2}{c}} - un 3} := D,$$
(4.29)

desde r 2 $_{2=x_c}$ + y $_c^2$ - re 2 y s = zc. Por lo tanto, θ 3 viene dado por

$$\theta$$
3 = UN bronceado re, \pm 1 - re2. (4.30)

91

De manera similar, θ2 se da como

$$\theta$$
2 = A tan(r, s) - A tan(a2 + a3c3, a3s3) (4.31)
= Un bronceado \overline{x}_{c}^{2} + y $\frac{2}{c}$ - d 2, zc - A tan(a2 + a3c3, a3s3).

Las dos soluciones para θ3 corresponden a la posición del codo hacia arriba y la posición del codo hacia abajo, respectivamente.

Un ejemplo de un manipulador de codo con compensaciones es el PUMA que se muestra en la Figura 4.9. Hay cuatro soluciones para la cinemática de posición inversa como se muestra. Corresponden a las situaciones brazo izquierdo-codo arriba, brazo izquierdo-codo abajo, brazo derecho-codo arriba y brazo derecho-codo abajo. Veremos que hay dos soluciones para la orientación de la muñeca dando así un total de ocho soluciones de la cinemática inversa para el manipulador PUMA.

CAPÍTULO 4. CINEMÁTICA INVERSA

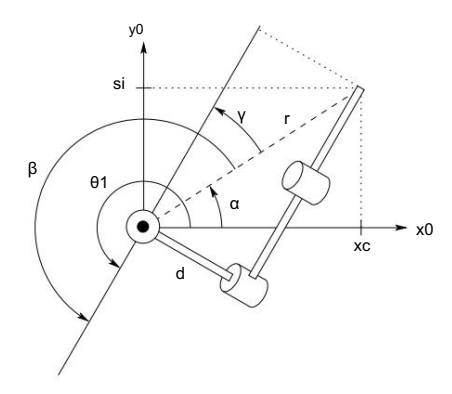


Figura 4.7: Configuración del brazo derecho.

Configuración esférica

92

A continuación, resolvemos la cinemática de posición inversa para un manipulador esférico de tres grados de libertad que se muestra en la figura 4.10. Como en el caso del manipulador de codo, la primera variable articular es la rotación base y se da una solución como

$$\theta 1 = A \tan(xc, yc) \tag{4.32}$$

siempre que xc e yc no sean ambos cero. Si tanto xc como yc son cero, la configuración es singular como antes y θ 1 puede tomar cualquier valor.

El ángulo θ2 se da a partir de la figura 4.10 como

$$\theta 2 = A \tan(r, s) + 2 \qquad (4.33)$$

donde r + 2y para θ 1 2 c, s = zc - d1. Como en el caso del manipulador de codo una segunda solución viene dado por

$$\theta 1 = \pi + A \tan(xc, yc); \tag{4.34}$$

La distancia lineal d3 se encuentra como

La solución de raíz cuadrada negativa para d3 no se tiene en cuenta y, por lo tanto, en este caso obtenemos dos soluciones para la cinemática de posición inversa siempre que el centro de la muñeca no se cruce con z0. Si hay un desplazamiento, habrá configuraciones de brazo izquierdo y derecho como en el caso del manipulador de codo (Problema 4-12).

4.4. ORIENTACIÓN INVERSA 93

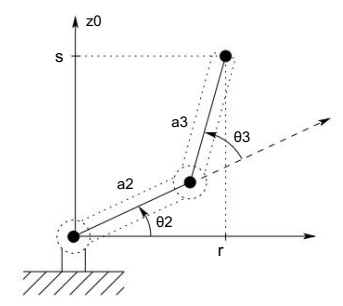


Figura 4.8: Proyectando sobre el plano formado por los eslabones 2 y 3.

4.4 Orientación inversa

En la sección anterior usamos un enfoque geométrico para resolver el problema de la posición inversa. Esto da los valores de las tres primeras variables articulares correspondientes a una posición dada del origen de la muñeca. El problema de la orientación inversa ahora consiste en encontrar los valores de las tres variables conjuntas finales correspondientes a una orientación dada con respecto al marco o3x3y3z3. Para una muñeca esférica, esto puede interpretarse como el problema de encontrar un conjunto de ángulos de Euler correspondientes a una matriz de rotación R dada. Recuerde que la ecuación (3.32) muestra que la matriz de rotación obtenida para la muñeca esférica tiene la misma forma que la rotación matriz para la transformación de Euler, dada en (2.52). Por lo tanto, podemos usar el método desarrollado en la Sección 2.5.1 para resolver los tres ángulos de articulación de la muñeca esférica. En particular, resolvemos para los tres ángulos de Euler, φ, θ, ψ, usando las Ecuaciones (2.54) – (2.59), y luego usamos el mapeo

 $\theta 4 = \varphi$, $\theta 5 = \theta$, $\theta 6 = \psi$.

Ejemplo 4.2 Manipulador articulado con muñeca esférica Los parámetros

DH para la asignación de tramas que se muestran en la Figura 4.2 se resumen en la Tabla 4.1. Multiplicando las matrices Ai correspondientes se obtiene la matriz R0 para el manipulador articulado o de codo como

$$R_0 = \begin{cases} c1c23 - c1s23 s1 \\ s1c23 - s1s23 - c1 \\ c23 - c23 - c23 \end{cases}$$
 (4.36)

94 CAPÍTULO 4. CINEMÁTICA INVERSA

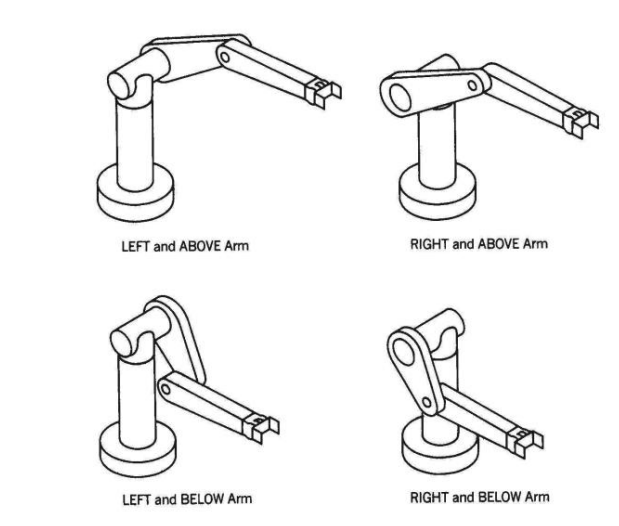


Figura 4.9: Cuatro soluciones de la cinemática de posición inversa para el manipulador PUMA.

Tabla 4.1: Parámetros de enlace para el manipulador articulado de la Figura 4.2.

Enlac	e ai c	ıi di 6	i 0	9	þ
1	d1	θ	1		
2	a2 (роө		2	
3	а3 (роө			3
variable					

4.4. ORIENTACIÓN INVERSA 95

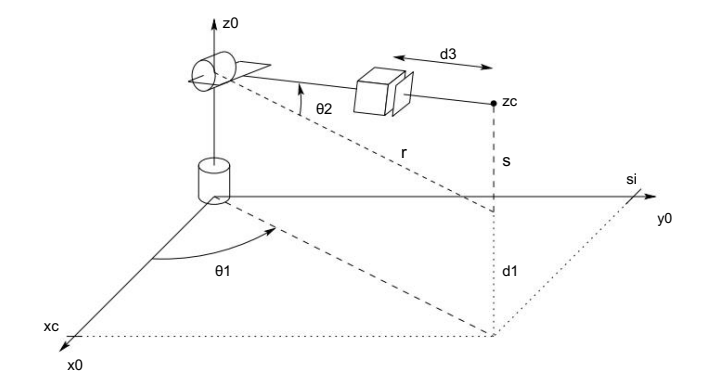


Figura 4.10: Manipulador esférico.

La matriz R3 = A4A5A6 se da como

$$R_{_{6}}^{_{3}} = \begin{array}{c} c4c5c6 - s4s6 - c4c5s6 - s4c6 c4s5 \\ s4c5c6 + c4s6 - s4c5s6 + c4c6 s4s5 \\ & \\ -s5c6 & s5s6 & c5 \end{array} \hspace{0.5cm} (4.37)$$

Por lo tanto, la ecuación a resolver ahora para las tres variables finales es

$$R_{6}^{3} = (R_{3}^{0})^{T} R$$
 (4.38)

y la solución del ángulo de Euler se puede aplicar a esta ecuación. Por ejemplo, las tres ecuaciones dadas por la tercera columna en la ecuación matricial anterior están dadas por

$$c4s5 = c1c23r13 + s1c23r23 + s23r33$$
 (4.39)

$$s4s5 = -c1s23r13 - s1s23r23 + c23r33$$
 (4.40)

$$c5 = s1r13 - c1r23$$
. (4.41)

Por lo tanto, si no ambas expresiones (4.39), (4.40) son cero, entonces obtenemos $\theta 5$ de (2.54) y (2.55) como

$$\theta = A \tan s r \cdot 13 - c \cdot 1r \cdot 23 + 1 - (s \cdot 1r \cdot 13 - c \cdot 1r \cdot 23)$$
 (4.42)

Si se elige la raíz cuadrada positiva en (4.42), entonces θ4 y θ6 están dados por (2.56) y (2.57), respectivamente. como

$$\theta$$
4 = A tan(c1c23r13 + s1c23r23 + s23r33,

$$\theta 6 = A \tan(-s1r11 + c1r21, s1r12 - c1r22).$$
 (4.44)

96 CAPÍTULO 4. CINEMÁTICA INVERSA

Las otras soluciones se obtienen análogamente. Si s5 = 0, entonces los ejes articulares z3 y z5 son colineal Esta es una configuración singular y solo se puede determinar la suma θ 4 + θ 6. Uno La solución es elegir θ 4 arbitrariamente y luego determinar θ 6 usando (2.62) o (2.64).

Ejemplo 4.3 Resumen de la solución del manipulador de codo

Para resumir el desarrollo anterior escribimos una solución a la inversa

cinemática del manipulador de codo de seis grados de libertad que se muestra en la figura 4.2 que tiene sin desplazamientos articulares y una muñeca esférica.

Dado

$$o = \begin{cases} boxy \\ oye \end{cases} R = \begin{cases} r11 r12 r13 \\ r21 r22 r23 \\ r31 r32 r33 \end{cases}$$
 (4.45)

entonces con

$$xc = buey - d6r13$$
 (4.46)

$$yc = oy - d6r23 zc$$
 (4.47)

$$= oz - d6r33$$
 (4.48)

un conjunto de variables conjuntas DH está dado por

$$\theta$$
1 = A tan(xc, yc) (4.49)

$$\theta$$
2 = A tan x $\frac{2}{c} + y_c^2 - d2$, zc - A tan(a2 + a3c3, a3s3) (4.50)

θ3 = A tan D, ± 1 - D2

donde D =
$$\frac{x_c^2 + y_c^2 - re^2 + z_c^2 - un_{23}^2 - un^2}{2a_2a_3}$$
 (4.51)

 θ 4 = A tan(c1c23r13 + s1c23r23 + s23r33,

$$-c1s23r13 - s1s23r23 + c23r33$$
 (4.52)

$$\theta$$
5 = A tan s1r13 - c1r23, \pm 1 - (s1r13 - c1r23) 2 (4.53)

$$\theta 6 = A \tan(-s1r11 + c1r21, s1r12 - c1r22).$$
 (4.54)

Las demás soluciones posibles se dejan como ejercicio (Problema 4-11).

Ejemplo 4.4 Manipulador SCARA

Como otro ejemplo, consideramos el manipulador SCARA cuya cinemática directa es definido por T^0_4 de (3.49). La cinemática inversa se da entonces como el conjunto de soluciones de la ecuacion

4.4. ORIENTACIÓN INVERSA

97

Primero notamos que, dado que SCARA tiene solo cuatro grados de libertad, no todos los H posibles de SE(3) permiten una solución de (4.55). De hecho, podemos ver fácilmente que no hay solución de (4.55) a menos que R sea de la forma

$$R = \begin{cases} c\alpha & s\alpha & 0 \\ s\alpha & -c\alpha & 0 & 0 & -1 \\ 0 & \end{cases}$$
 (4.56)

y si este es el caso, la suma θ1 + θ2 - θ4 está determinada por

$$\theta 1 + \theta 2 - \theta 4 = \alpha = A \tan(r11, r12).$$
 (4.57)

Proyectar la configuración del manipulador en el plano x0 – y0 produce inmediatamente la situación de la figura 4.11.

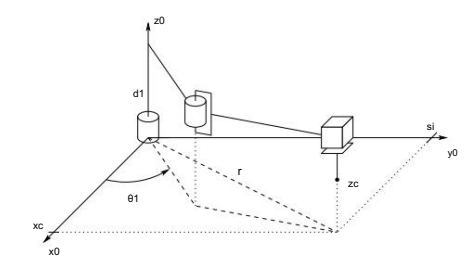


Figura 4.11: Manipulador SCARA.

Vemos de esto que

$$\theta 2 = A \tan c 2, \pm \sqrt{1 - c 2}$$
 (4.58)

dónde

$$c2 = \frac{xy \frac{22}{29} \frac{4}{92} un \frac{2^{2-un}}{2^{2-un}}}{(4.59)}$$

$$\theta$$
1 = A tan(ox, oy) - A tan(a1 + a2c2, a2s2). (4.60)

Entonces podemos determinar θ4 a partir de (4.57) como

$$\theta 4 = \theta 1 + \theta 2 - \alpha \tag{4.61}$$

 $= \theta 1 + \theta 2 - A \tan(r11, r12).$

Finalmente d3 se da como

$$d3 = oz + d4.$$
 (4.62)

CAPÍTULO 4. CINEMÁTICA INVERSA